

## بررسی تنوع بیماری‌زایی جدایه‌های ریزوکتونیای سیبزمینی و چغندرقند

مریم صفاریان عباسزاده<sup>۱</sup>، رضا فرخی نژاد<sup>۲</sup> و سید باقر محمودی<sup>۳</sup>

### چکیده

در این پژوهش، تنوع بیماری‌زایی جدایه‌های *Rhizoctonia solani* به دست آمده از سیبزمینی و چغندرقند، روی چهار گیاه تربچه، سیبزمینی، گوجه‌فرنگی و چغندرقند مورد مطالعه قرار گرفت. بررسی تنوع بیماری‌زایی جدایه‌های *R. solani* بیانگر وجود تنوع بالایی در بیماری‌زایی جدایه‌های مورد بررسی بود. از میان این چهار میزبان، چغندرقند کمترین حساسیت را در برابر ریزوکتونیا داشته در حالی که سیبزمینی به عنوان حساس‌ترین میزبان ریزوکتونیا شناخته شد. جدایه‌های مربوط به گروه آناستوموزی چهار بیشترین توانایی را در بیمار کردن چغندرقند داشته و جدایه‌های مربوط به گروه آناستوموزی AG-3 کمترین میزان توانایی را در بیمار کردن چغندرقند از خود نشان دادند. گوجه‌فرنگی و تربچه از میان این چهار میزبان، نسبت به گروه آناستوموزی چهار بیشتر حساس بودند، اما سیبزمینی نسبت به جدایه‌های AG-3 بسیار حساس بود، که این نتیجه، تخصص میزبانی جدایه‌های AG-3 را نسبت به سیبزمینی نشان می‌دهد. در میان جدایه‌های گروه آناستوموزی AG-4 تخصص میزبانی دیده نشد. به طور کلی مقایسه قدرت بیماری‌زایی جدایه‌ها روی چهار میزبان نشان داد که امکان تفکیک جدایه‌ها براساس قدرت بیماری‌زایی آن‌ها روی تربچه و گوجه‌فرنگی به ترتیب بهتر از سیبزمینی و چغندرقند می‌باشد. لذا به علت تهیه آسان بذور گوجه‌فرنگی و تربچه، امکان جای‌گزین کردن این دو بذر به جای سیبزمینی و چغندرقند وجود دارد.

**واژه‌های کلیدی:** *Rhizoctonia solani*: تنوع بیماری‌زایی، سیبزمینی، چغندرقند، تجزیه خوش‌های

۱. دانشجوی کارشناسی ارشد بیماری‌شناسی، گروه گیاه‌پزشکی، دانشکده کشاورزی دانشگاه شهید چمران، اهواز  
 ۲. استاد، گروه گیاه‌پزشکی، دانشکده کشاورزی دانشگاه شهید چمران، اهواز  
 ۳. استادیار، بخش گیاه‌پزشکی، موسسه اصلاح و تهیه بذر چغندرقند، کرج

## مقدمه

آناستوموزی و دامنه میزانی وجود دارد، به طوری که AG2-1 در خانواده Brassicaceae و بهویژه در چندرقند و AG-3 در Chenopodiaceae و بهویژه در Solanaceae به عنوان خانواده بیمارگر اصلی شناخته شده‌اند. این در حالی است که AG-4 تخصص میزانی ندارد (رابینسون و دیکون، ۲۰۰۲). اما این اعتقاد نیز وجود دارد که دامنه میزانی جدایه‌های *R. solani* در محدوده هر گروه آناستوموزی اختصاصی نبوده و جدایه‌های متعلق به گروه‌های آناستوموزی مختلف از این منظر همپوشانی دارند (محمودی و همکاران، ۱۳۸۳). اشنایدر (۲۰۰۰) از مزارع چندرقند آلوده در هلند گروه‌های آناستوموزی AG-1، AG-2، IC، AG-3 و AG-5 را جدا کرد. اگرچه بیشتر جدایه‌ها متعلق به گروه آناستوموزی AG-2IIIB بودند، اما مطالعات نامبرده نشان داد که جدایه‌های ۳ مانع از رشد بدوز جوانه‌زده در مزرعه می‌گردند و حتی روی چندرقند بالغ هم زخم‌هایی ایجاد کرده و روی دمیرگ تولید مرحله جنسی می‌کنند. این نتایج بیانگر تاثیر AG-3 در تمام مراحل رشد چندرقند می‌باشد.

ویندلز و همکاران (۱۹۹۷) از مزارع چندرقند آمریکا، ۳۳ جدایه از دمیرگ جدا کردند که ۲۸ جدایه آن متعلق به AG-3 و پنج جدایه متعلق به AG-5 بود. تمامی جدایه‌های AG-3 متعلق به چهار مزرعه‌ای بودند که در فصل قبل سیب‌زمینی در آن‌ها کشت شده و بقایای سیب‌زمینی هنوز بر جای مانده بود. جدایه‌های AG-5 از مزارعی جداسازی شده بودند که فصل قبل در آن‌ها گندم کشت شده بود. جدایه‌های AG-3 تماماً روی ریشه چندرقند تولید اسکلروت کرده بودند، ولی روی ریشه بیماری‌زا نبودند. توانایی جدایه‌های AG-3 در تولید اسکلروت روی ریشه گیاه غیر میزان بیان‌گر توانایی افزایش جمعیت قارچ روی گونه‌های غیر میزان می‌باشد (ویندلز و همکاران، ۱۹۹۷).

بالالی و همکاران (۱۹۹۵) با مقایسه جدایه‌های AG-4 با AG-3 و AG-5 جدا شده از سیب‌زمینی بیان کردند که گروه AG-4 شدیدترین شانکر ساقه و استولون AG-4 را به وجود می‌آورد. همچنین مشخص شده که

ریزوکتونیا از نظر تاکسونومی، تنوع ژنتیکی، بیماری‌زایی و اکولوژی یک مجموعه بسیار متنوع بوده (مورد و همکاران، ۱۹۸۹) و گونه معروف آن *Rhizoctonia solani* می‌باشد. تاکنون تنوع ژنتیکی بسیار بالایی در جمعیت این قارچ گزارش گردیده است، لذا از آن به گونه مرکب یاد می‌شود (ویلگالیس و کیوبتا، ۱۹۹۴). براساس گروه‌بندی آناستوموزی گونه *R. solani* به ۱۳ گروه مشخص که از نظر ژنتیکی از هم مجزایند، تقسیم‌بندی می‌شود (کارلینگ و همکاران، ۲۰۰۲). با توجه به تفاوت‌هایی که جدایه‌های *R. solani* و فیزیولوژیکی دارند، تلاش‌های زیادی درجهت تقسیم‌بندی این گونه به گروه‌هایی که شباهت‌های ژنتیکی بیشتری با هم دارند انجام شده است. این گروه‌بندی‌ها اصولاً براساس خصوصیات مورفولوژیکی (مورد و همکاران، ۱۹۸۹؛ اکسنر، ۱۹۵۳)، بیماری‌زایی (واتاناب و ماتسودا، ۱۹۶۶؛ واکنش آناستوموز هیف‌ها (پارمتر و همکاران، ۱۹۶۹؛ اگوشی، ۱۹۷۵) بوده است. با این وجود، گروه‌بندی براساس واکنش آناستوموز هیف‌ها (اگوشی، ۱۹۷۵) جزو معتبرترین روش‌هایی است که تاکنون برای گروه‌بندی درون‌گونه‌ای در این قارچ مورد استفاده قرار گرفته است. برخی از گروه‌های آناستوموزی شامل ۱، ۲، ۳، ۴، ۵، ۶، ۷ و ۹ بر اساس خصوصیات ریخت‌شناسی، بیوشیمیایی، ژنتیکی، بیماری‌زایی، اکولوژیکی و دامنه میزانی به زیر گروه‌هایی تقسیم می‌شوند (اسنه و همکاران، ۱۹۹۱؛ اشنایدر و همکاران، ۱۹۹۷؛ کارلینگ و همکاران، ۲۰۰۲a) نشان‌گرهای مولکولی نیز ضمن تایید محدوده گروه‌های آناستوموزی بر اعتبار بیشتر گروه‌ها و کم و بیش زیرگروه‌ها صحه گذاشته و در برخی موارد در دست‌یابی به آغازگرهای اختصاصی گروه‌ها و زیرگروه‌ها کمک شایانی نموده است (کارلینگ و همکاران، ۲۰۰۲b).

استفاده از صفت بیماری‌زایی به عنوان یک فاکتور مهم از دید بیماری شناسان، در گروه‌بندی *R. solani* چندان مفید واقع نشده است. با وجود این، برخی پژوهش‌گران معتقدند که رابطه مشخصی بین گروه

(پنج جدایه AG-4 و دو جدایه AG-3 و یک جدایه AG-5) در ظروف پتري مورد بررسی قرار گرفت. جدایه‌ها روی محیط کشت PDA در دما  $25-27^{\circ}\text{C}$  رشد داده شده و سپس از حاشیه فعال پرگنه هر قارچ، قرص‌های هشت میلی‌متری به محیط کشت آب - آگار منتقل گردید. دوازده ساعت پس از انتقال جدایه‌ها به محیط کشت آب - آگار، ۱۰ عدد بذر جوانه زده تربیچه، گوجه فرنگی، سیب‌زمینی و چغندرقند پیرامون دایره‌ای به شعاع سه سانتی‌متر اطراف پرگنه فعال قارچ در تشک‌های پتري ۱۰ سانتی‌متری قرار گرفت و در دمای  $25-27^{\circ}\text{C}$  نگهداری شدند. پیامد تعامل جدایه‌های قارچ با گیاهچه‌های تربیچه، گوجه فرنگی و سیب‌زمینی سه، پنج و هفت روز بعد از مایه‌زنی، مورد ارزیابی قرار گرفت. این آزمایش در قالب یک طرح کاملاً تصادفی با پنج تکرار مورد بررسی قرار گرفت.

شدت بیماری روی سه محصول تربیچه، گوجه فرنگی و سیب‌زمینی از روی وسعت منطقه نکروزه شده روی ریشه براساس مقیاس (صفر-۵) اندازه گیری شد (رابینسون و دیکون، ۲۰۰۲). در این مقیاس نمره = عدم وجود بیماری، نمره  $1 = 10\%$ ، نمره  $2 = 20\%$ ، نمره  $3 = 30\%$ ، نمره  $4 = 40\%$ ، نمره  $5 = 50\%$  تمام ریشه نکروز شده است. اما در مورد چغندرقند، شدت بیماری روی هر یک از گیاهچه‌ها بر اساس مقیاس کارلینگ و همکاران (۲۰۰۲a) با اصلاحات جزئی به شرح ذیل یادداشت برداری شد. نمره  $0 =$  فقد علائم، نمره  $1 =$  قهقهه‌ای شدن ریشه‌چه، نمره  $2 =$  قهقهه‌ای شدن هیپوکوتیل، نمره  $3 =$  قهقهه‌ای شدن ریشه‌چه و هیپوکوتیل، نمره  $4 =$  مرگ کامل گیاهچه. برای مقایسه دقیق‌تر دو مقیاس نمره‌دهی، نمره  $4$  در مقیاس کارلینگ و همکاران (۲۰۰۲a) و نمره  $5$  در مطالعات روبینسون و دیکون (۲۰۰۲) به عنوان  $100$  در نظر گرفته شد و نمره‌های دیگر بر همین مقیاس، هماهنگ گردید.

### محاسبات آماری

داده‌های جمع‌آوری شده با استفاده از نرم‌افزار SPSS مورد تجزیه و تحلیل قرار گرفت. در آزمایش ارزیابی درون شیشه‌ای سطح زیر منحنی پیشرفت

سبب مرگ گیاهچه سیب‌زمینی شده و حتی منجر به مرگ  $70\%$  از بذرها می‌گردد (تروتر، ۲۰۰۵). این در حالی است که گروه آناستوموزی AG-3 به عنوان عامل اصلی در ایجاد بیماری ریزوکتونیایی شوره سیاه سیب‌زمینی مطرح است (کارلینگ و لینز، ۱۹۸۶؛ باندی و همکاران، ۱۹۸۸؛ بنویل، ۱۹۸۹). گروه آناستوموزی AG-3 به عنوان گروهی با تخصص میزانی شناخته می‌شود (کیجر و همکاران، ۱۹۹۷).

مطالعه تنوع ژنتیکی جدایه‌های عامل بیماری و بررسی همبستگی بین این تنوع و بیماری‌زایی از اهمیت ویژه‌ای برخوردار است، چرا که در تهیه ارقام مقاوم و حتی انتخاب میزان مناسب در تناوب، شناخت کافی از تنوع بیماری‌زایی بیمارگر و تعامل آن با میزان، ضروری به نظر می‌رسد. در این بررسی تنوع بیماری‌زایی جدایه‌های ریزوکتونیایی گروه‌های آناستوموزی ۵ و ۴ AG-3، روی میزان‌های مختلف مطالعه شد.

### مواد و روش‌ها

#### جدایه‌های بیمارگر

تعداد ۲۱ جدایه *Rhizoctonia solani* از غده‌های سیب‌زمینی آلوده به بیماری شوره سیاه از مزارع مختلف استان خوزستان جمع‌آوری گردید. همچنین تعداد ۸ جدایه *R. solani* از نمونه‌های چغندرقند جداسازی گردید. جدایه‌های به دست آمده پس از نوک ریسه شدن روی بذر جو در دمای  $40^{\circ}\text{C}$  نگهداری شدند.

گروه آناستوموزی جدایه‌های ریزوکتونیا به وسیله جفت کردن آن‌ها با جدایه‌های آزمون و مشاهده پیوند ریسه‌ها با روش اسلاید پوشیده از آگار و اسلاید تمیز مورد بررسی قرار گرفت (اسنه و همکاران، ۱۹۹۱). کلیه جدایه‌های چند هسته‌ای در تعامل با گروه‌های آناستوموزی استاندارد ۱-۱۳ (دریافتی از موسسه تحقیقات اصلاح و تهیه بذر چغندرقند، کرج) قرار گرفتند.

بررسی بیماری‌زایی جدایه‌ها در شرایط درون شیشه‌ای قدرت بیماری‌زایی ۱۶ جدایه از AG-3، سه جدایه از AG-4 و دو جدایه از AG-5 جداسده از سیب‌زمینی به همراه هشت جدایه *R. solani* جدا شده از چغندرقند

از سیبزمینی از نظر زمان نشان دادن علائم، متمایز از سایر جدایه‌ها عمل نمودند، لذا این جدایه‌ها به طور مجزا از سایر جدایه‌های مورد استفاده در این آزمایش بررسی گردیدند. در این آزمایشات علائم ناشی از جدایه‌های AG-3 بدست آمده از سیبزمینی، روی گیاهچه تربچه در روز هفتم بعد از مایهزنی ظاهر گردید.

در تجزیه آماری داده‌ها که با استفاده از آزمون AG-3 دانکن انجام گرفت، جدایه‌های گروه آناستوموزی AG-3 جداشده از سیبزمینی را به ۸ گروه تقسیم شدند (جدول ۱). طبق جدول ۱، جدایه‌های P219 و P140 که به ترتیب از منطقه شوستر و عقیلی جمع‌آوری شده بودند، به ترتیب دارای بیشترین و کمترین بیماری‌زایی روی تربچه بوده و در گروه آناستوموزی AG-3 قرار دارند. تجزیه خوش‌های نتایج بیماری‌زایی جدایه‌های AG-3 سیبزمینی روی تربچه که با استفاده از متوسط پیوستگی گروه‌ها بین (Average linkage between groups) اقلیدسی (Squared Euclidean distance) انجام شد، جدایه‌ها را به سه گروه بیماری‌زای بالا، متوسط و ضعیف دسته‌بندی نمود (شکل ۱). جدایه P219 در گروه بیماری‌زای قرار گرفت.

Area Under Disease Progress Curve، (AUDPC) بر اساس فرمول

$$\sum_i^{n-1} [(y_i + y_{i+1}) / 2] [t_{i+1} - t_i]$$

(n تعداد دفعات ارزیابی بیماری،  $y_i$  شدت بیماری در زمان  $t_i$  و  $t_{i+1}$  زمان است) و با استفاده از نرم‌افزار EXCEL محاسبه شد. تجزیه واریانس و مقایسه میانگین صفات به روش دانکن ( $p \leq 0.01$ ) و با استفاده از نرم‌افزار SPSS (Ver. 11.5) انجام گرفت و برای مقایسه قدرت بیماری‌زایی جدایه‌ها روی هر میزان تجزیه خوش‌های روی مجذور فواصل اقلیدسی و به روش UPGMA با استفاده از نرم‌افزار SPSS انجام شد. بدین منظور مقادیر مربوطه با توجه به مقادیر مربع فاصله اقلیدسی در مراحل مختلف تجزیه خوش‌های به گروه‌های مختلف تقسیم بندی شدند. محل مناسب برای تفکیک جدایه‌ها (Cut off Point) مرحله‌ای از تجزیه خوش‌های بود که نسبت به مرحله قبلی دارای بیشترین میزان میانگین مربع فاصله اقلیدسی بود (جوپسون، ۱۹۹۲).

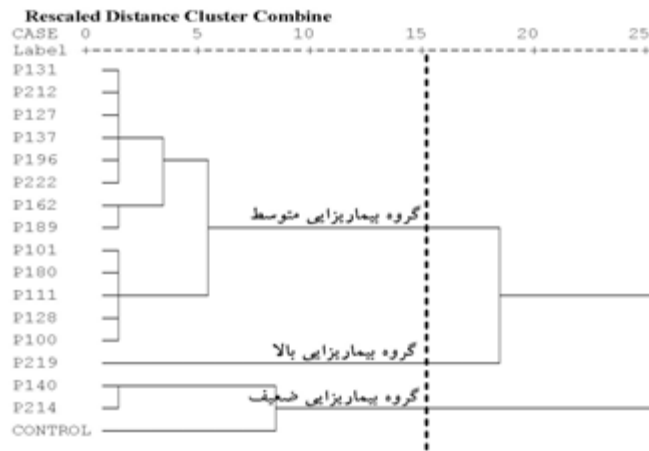
## نتایج

بیماری‌زایی جدایه‌های *R. solani* در شرایط درون شیشه روی تربچه

در بررسی بیماری‌زایی جدایه‌ها در شرایط درون شیشه بدليل اینکه جدایه‌های AG-3 بدست آمده

جدول ۱: مشخصات جدایه‌های ریزوکتونیای جداشده از سیبزمینی (AG-3) و بررسی بیماری‌زایی نسبی آن‌ها در شرایط درون شیشه روی تربچه

کد جدایه	محل جمع‌آوری	تاریخ یادداشت برداری (روز هفتم)
P219	شوستر	۵a
P189	سرپیشه	۳/۹۳b
P1۳۷	عقیلی	۳/۸bc
P1۲۷	جریه	۳/۵۴bc
P1۸۰	سرپیشه	۳/۵bcd
P1۳۱	جریه	۳/۴۳bcde
P1۶۲	سرپیشه	۳/۳۷bcde
P212	شوش	۳/۲bcde
P1۲۸	جریه	۳/۱bcde
P2۲۲	شوستر	۳/۰۳cde
P1۰۰	انجیلک	۳/۰۳cde
P1۹۶	شمس آباد	۳/۹de
P1۱۱	انجیلک	۳/۸۶de
P1۰۱	نوجیلک	۳/۶ef
P2۱۴	شوش	۲fg
P1۴۰	عقیلی	۱/۵g
شاهد	-----	.h



شکل ۱: تجزیه خوشای جدایه‌های AG-3 جداشده از سیبزمینی روی تربچه ۷ روز پس از مایه‌زنی

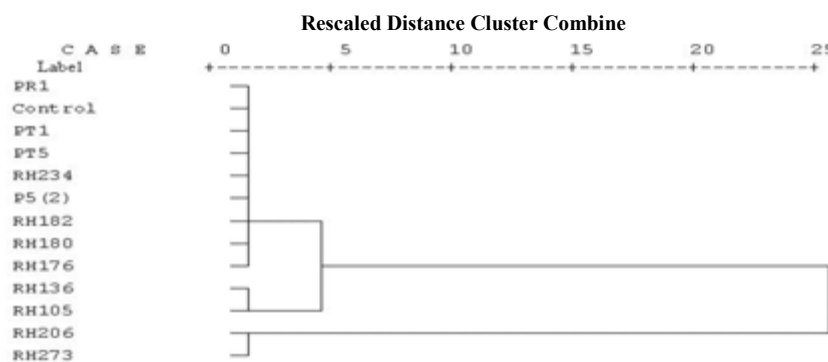
گروه آناستوموزی ۵ AG نسبت به جدایه ۵ AG حاصل از سیبزمینی از شدت بیماری‌زایی بیشتری برخوردار بود. در این آزمایش به طور کلی جدایه RH206 با گروه آناستوموزی ۴ AG-۴ جدا شده از چوندرقند بیماری‌زایترین و جدایه RH182 جداشده از چوندرقند با گروه آناستوموزی ۳ AG-3 ضعیفترین جدایه شناخته شد.

تجزیه خوشای بر مبنای سه متغیر (میزان شدت بیماری در ۳، ۵، ۷ روز پس از مایه‌زنی) جدایه‌ها را به سه گروه بیماری‌زا، نسبتاً بیماری‌زا و بیماری‌زا ضعیف تقسیم کرد (شکل ۲).

در آزمایش دیگری، اثر بیماری‌زایی شش جدایه AG-4 به همراه دو جدایه AG-3 و یک جدایه ۵ AG-۴ از چوندرقند جدا شده بودند و همچنین سه جدایه AG-۴ و یک جدایه AG-5 جداسازی شده از سیبزمینی مورد مطالعه قرار گرفت. جدایه‌ها از نظر بیماری‌زایی متنوع بودند. بر اساس تجزیه آماری داده‌ها که با استفاده از آزمون دانکن و بر مبنای سطح زیر منحنی پیشرفت بیماری انجام شد، جدایه‌ها به هفت گروه تقسیم شدند (جدول ۲). بر اساس جدول ۲ جدایه‌های AG-4 جداشده از چوندرقند نسبت به جدایه‌های AG-4 جدا شده از سیبزمینی دارای توان بیماری‌زایی بیشتری بودند. همچنین جدایه RH180 با

جدول ۲: مشخصات جدایه‌های ریزوکتونیای جداشده از چوندرقند و سیبزمینی و بررسی بیماری‌زایی نسبی آن‌ها روی تربچه در سه یادداشت برداری مختلف در شرایط درون شیشه

کد جدایه	میزان	گروه آناستوموزی	محل جمع آوری	تاریخ‌های یادداشت برداری			سطح زیر منحنی
				روز سوم	روز پنجم	روز هفتم	
RH۲۰۶	چوندرقند	AG-۴	کرج	۴/۰۴a	۵a	۵a	۲۵/۱a
RH۲۷۳	چوندرقند	AG-۴	مشهد	۳/۴۴a	۵a	۵a	۲۳/۶a
RH۱۳۶	چوندرقند	AG-۴	لرستان	۱/۳۸b	۵a	۵a	۱۸/۴۵b
RH۱۰۵	چوندرقند	AG-۴	کرمانشاه	۱/۰۲bc	۵a	۵a	۱۷/۵۵bc
RH۱۸۰	چوندرقند	AG-۵	مشهد	۰/۱۴c	۵a	۵a	۱۵/۳۵c
RH۱۷۶	چوندرقند	AG-۴	مشهد	۰/۲۶c	۴/۶۴a	۵a	۱۵/۰۵c
PT۵	سیبزمینی	AG-۴	شمس آباد	۰c	۳/۶۴b	۴/۲۴b	۱۱/۵۲d
P۵(۲)	سیبزمینی	AG-۵	انجیلک	۰/۰۴c	۲/۸۲c	۳/۰۴c	۸/۷۸e
PT۱	سیبزمینی	AG-۴	جریه	۰c	۰/۹۲d	۳/۰۸c	۴/۹۲f
RH۲۳۴	چوندرقند	AG-۳	شیروان	۰/۰۸c	۰/۶۲d	۲/۹c	۴/۳۴f
PR	سیبزمینی	AG-۴	شوشتار	۰c	۰/۸d	۲/۲۲d	۳/۸۲f
RH۱۸۲	چوندرقند	AG-۳	مشهد	۰/۱۲c	۰/۷d	۱/۹d	۲/۶f
شاهد	-----	-----	-----	۰c	۰e	۰e	۰g



شکل ۲: تجزیه خوشهای جدایه‌های *Rhizoctonia solani* به دست آمده از چغندرقند و سیب‌زمینی بر مبنای شدت بیماری ۳، ۵ و ۷ روز بعد از مایه‌زنی (مقیاس صفر-۵) در شرایط درون شیشه روی تربچه

### بررسی بیماری‌زایی جدایه‌های *R. solani* در شرایط درون شیشه روی چغندرقند

علائم قهوهای شدن و نکروز بیماری مربوط به جدایه‌های AG-3 به دست آمده از سیب‌زمینی هفت روز پس از مایه‌زنی روی چغندرقند دیده شد، لذا یادداشت برداری در دو نوبت (۹ و ۷ روز پس از مایه‌زنی) انجام گردید. اما جدایه‌های چغندرقند از روز سوم پس از مایه‌زنی روی چغندرقند علائم بیماری را نشان دادند و چون در میزان و نوع علائم از روز هفتم به بعد تغییری حاصل نشد، لذا سه نوبت (۳، ۵ و ۷) یادداشت برداری صورت گرفت. بدلیل متفاوت بودن زمان‌های یادداشت برداری، در مورد جدایه‌های سیب‌زمینی و چغندرقند، تجزیه آماری داده‌ها به طور مجزا صورت گرفت. در نتایج تجزیه آماری داده‌ها با آزمون دانکن، بر مبنای محاسبه سطح زیر منحنی پیشرفت بیماری، جدایه‌های به دست آمده از چغندرقند به پنج گروه تقسیم شدند (جدول ۴). جدایه‌های RH206 با گروه آناستوموزی AG-4 و جدایه RH182 با گروه آناستوموزی AG-3 به ترتیب به عنوان بیماری‌زاترین و ضعیفترین جدایه مشخص شدند. براساس نتایج تجزیه سطح زیر منحنی پیشرفت بیماری، مبنای محاسبه سطح زیر منحنی پیشرفت بیماری، جدایه‌های به دست آمده از سیب‌زمینی به شش گروه تقسیم شدند. جدایه‌های P131 و P140 به ترتیب عنوان بیماری‌زاترین و ضعیفترین جدایه تعیین شدند.

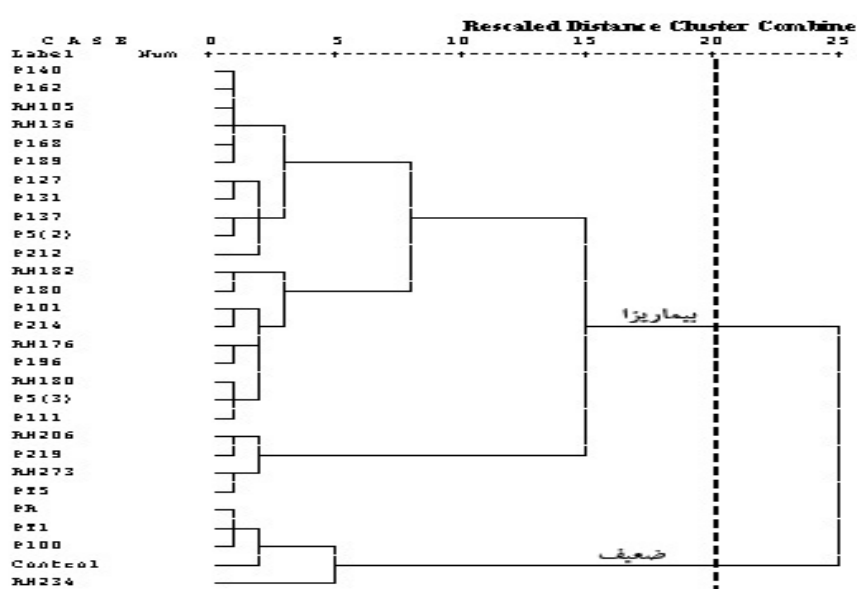
### بررسی بیماری‌زایی جدایه‌های *R. solani* در شرایط درون شیشه روی سیب‌زمینی

بر اساس تجزیه میانگین داده‌ها با آزمون دانکن، بر مبنای محاسبه سطح زیر منحنی پیشرفت بیماری، جدایه‌ها به ۱۱ گروه تقسیم شدند (جدول ۳). جدایه‌های P219 و RH206 که به ترتیب از چغندرقند و سیب‌زمینی جدایشده بودند، به عنوان بیماری‌زاترین جدایه مشخص گردیدند. P100 به عنوان ضعیفترین جدایه مختلف یادداشت برداری نشان داد که در روز سوم پس از مایه‌زنی، جدایه‌ها به چهار گروه بیماری‌زا، نسبتاً بیماری‌زآ، نسبتاً ضعیف و ضعیف دسته‌بندی شدند. یادداشت برداری پنج روز پس از مایه‌زنی جدایه‌ها را به نه گروه و یادداشت برداری هفت روز پس از مایه‌زنی جدایه‌ها را به پنج دسته تقسیم کرد (جدول ۳).

تجزیه خوشهای جدایه‌ها بر مبنای سه متغیر (میزان شدت بیماری در روز سوم، پنجم و هفتم بعد از مایه‌زنی) با استفاده از متوسط پیوستگی بین گروه‌ها (Average linkage between groups) (Squared) Euclidean distance اقلیدسی (Squared) Euclidean distance between groups)، جدایه‌ها را به دو گروه بیماری‌زا و ضعیف دسته‌بندی کرد (شکل ۳). دو جدایه RH176 با گروه آناستوموزی AG-4 و جدایه RH180 با گروه آناستوموزی AG-5 روی گیاهچه‌ها علائم ویژه‌ای را نشان دادند. این جدایه‌ها مانند سایرین علامت نکروز را روی گیاه نشان ندادند بلکه در ابتدا روی ریشه، ساقه و هیپوکوتیل گیاهچه اسکلروت تشکیل دادند و پس از آن، علامت نکروز بروز کرد.

**جدول ۳: مشخصات جدایه‌های ریزوکتونیا و بررسی قدرت بیماری‌زایی نسبی آن‌ها در سه یادداشت برداری مختلف در شرایط درون شیشه روی سیب‌زمینی**

میزان	گروه آنستوموزی	محل جمع آوری	تاریخ‌های یادداشت برداری				سطح زیر منحنی
			روز سوم	روز پنجم	روز هفتم		
RH۲۰۶	چندرقند	AG-۴	۵a	۵a	۵a	۲۷/۵a	
P۲۱۹	سیب‌زمینی	AG-۳	۴/۷۵ab	۵a	۵a	۲۶/۸۷ab	
RH۲۷۳	چندرقند	AG-۴	۳/۸۷ab	۵a	۵a	۲۴/۶۹ab	
PT۵	سیب‌زمینی	AG-۴	۳/۴۲b	۴/۳۷ab	۴/۹۷a	۲۲/۲۹bc	
P۱۲۷	سیب‌زمینی	AG-۳	۱/۸c	۵a	۵a	۱۹/۵cd	
P۱۳۱	سیب‌زمینی	AG-۳	۱/۹۷ac	۴/۶ab	۵a	۱۹/۲۴cde	
P۲۱۲	سیب‌زمینی	AG-۳	۲/۱c	۳/۳۷bcd	۴/۹۵a	۱۶/۹def	
P۵(۲)	سیب‌زمینی	AG-۵	۱/۳۷acd	۴/۰۷ab	۵a	۱۶/۵def	
P۱۸۹	سیب‌زمینی	AG-۳	۰/۳d	۵a	۵a	۱۵/۶def	
P۱۶۸	سیب‌زمینی	AG-۳	۰/۱۷ad	۴/۹۲a	۵a	۱۵/۲۹defg	
P۱۴۰	سیب‌زمینی	AG-۳	۰-d	۵a	۵a	۱۵defg	
P۱۶۲	سیب‌زمینی	AG-۳	۰-d	۵a	۵a	۱۵defg	
RH۱۰۵	چندرقند	AG-۴	۰-d	۵a	۵a	۱۵defg	
RH۱۳۶	چندرقند	AG-۴	۰-d	۵a	۵a	۱۵defg	
P۱۳۷	سیب‌زمینی	AG-۳	۰/۷۲acd	۳/۸۷abc	۴/۹۷a	۱۴/۵defg	
P۱۸۰	سیب‌زمینی	AG-۳	۱/۶cd	۴/۸a	۵a	۱۲/۴fgh	
RH۱۸۰	چندرقند	AG-۵	۰/۲۲d	۲/۶۲abcdef	۴/۸۷a	۱۰/۶۹ghi	
P۵(۳)	سیب‌زمینی	AG-۵	۰/۳d	۲/۷۵cde	۴/۳۷ab	۱۰/۶۲defghi	
P۱۱۱	سیب‌زمینی	AG-۳	۰/۲ad	۲/۰۲efgh	۴/۹۵a	۹/۶۲defghi	
RH۱۸۲	چندرقند	AG-۳	۱/۱۲acd	۱hi	۴/۷۲ab	۹/۱۲a hi	
P۲۱۴	سیب‌زمینی	AG-۳	۰/۰۷ad	۲/۳۷defg	۳/۲c	۸/۲۸۷defhi	
P۱۹۶	سیب‌زمینی	AG-۳	۰-d	۱/۳afghi	۴/۹۲a	۷/۶۲defij	
RH۱۷۶	چندرقند	AG-۴	۰/۱۷ad	۱/۲ghi	۴/۲۷ab	۷/۱۱ij	
P۱۰۱	سیب‌زمینی	AG-۳	۰-d	۱/۷defgh	۳/abc	۷ij	
RH۲۳۴	چندرقند	AG-۳	۰-d	۰-i	۳/۲۲cd	۳/۲۲defjk	
PT۱	سیب‌زمینی	AG-۴	۰/۰ad	۰-i	۱/۳ad	۱/۴۷ak	
PR	سیب‌زمینی	AG-۴	۰-d	۰-i	۱/۲۲ad	۱/۳۲defK	
P۱۰۰	سیب‌زمینی	AG-۳	۰-d	۰-i	۰/۸ad	۰/۸a K	
شاهد	-	-	۰-d	۰-i	۰-e	۰-k	



شکل ۳: تجزیه خوشه‌ای جدایه‌های *Rhizoctonia solani* بر مبنای شدت بیماری ۳، ۵ و ۷ روز بعد از مایه‌زنی (مقیاس صفر-۵) روی سیب‌زمینی در شرایط درون شیشه‌ای

در هفت روز پس از مایه‌زنی به دو گروه و نه روز پس از مایه‌زنی به هفت گروه تقسیم شدند (جدول ۵).  
تجزیه خوشه‌ای بر مبنای دو متغیر (میزان شدت بیماری در روز هفتم و نهم بعد از مایه‌زنی) با استفاده از متوسط پیوستگی بین گروه‌ها در فاصله اقلیدسی جدایه‌ها را به سه گروه، نسبتاً بیماریزا، ضعیف وغیر بیماریزا دسته‌بندی کرد. جدایه P131 در این خوشه‌بندی در یک خوشه مجزا و به عنوان بیماری‌زاترین جدایه مشخص شد (شکل ۵).

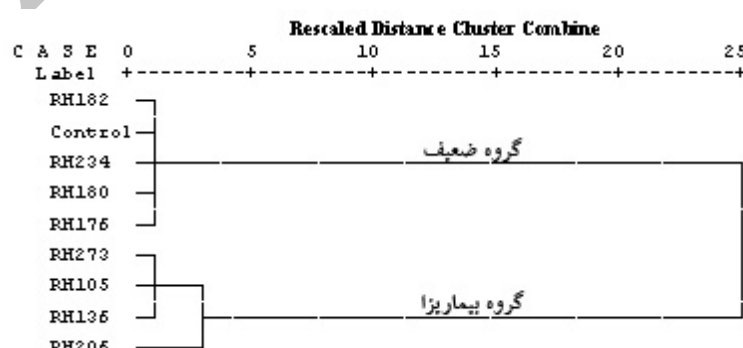
نتایج حاصل از تجزیه آماری مراحل مختلف یادداشت‌برداری بیان گر آن است که جدایه‌های حاصل از چغندرقند در اولین نوبت یادداشت‌برداری به چهار گروه، در دومین نوبت به سه دسته و در سومین مرحله به پنج گروه دسته‌بندی شدند (جدول ۴).

تجزیه خوشه‌ای جدایه‌ها بر مبنای سه متغیر (میزان شدت بیماری در روز سوم، پنجم و هفتم بعد از مایه‌زنی) با استفاده از متوسط پیوستگی بین گروه‌ها (Average linkage between groups) اقلیدسی (Squared Euclidean distance)، جدایه‌ها را به دو گروه بیماریزا و ضعیف دسته‌بندی کرد (شکل ۴).  
جدایه‌های به دست آمده از سیب‌زمینی بر اساس تجزیه میانگین شدت بیماری با استفاده از آزمون دانکن

جدول ۴: بررسی توان بیماری‌زایی نسبی جدایه‌های ریزوکتونیا به دست آمده از چغندرقند در یادداشت‌برداری‌های مختلف در

#### شرایط درون شیشه روی چغندرقند

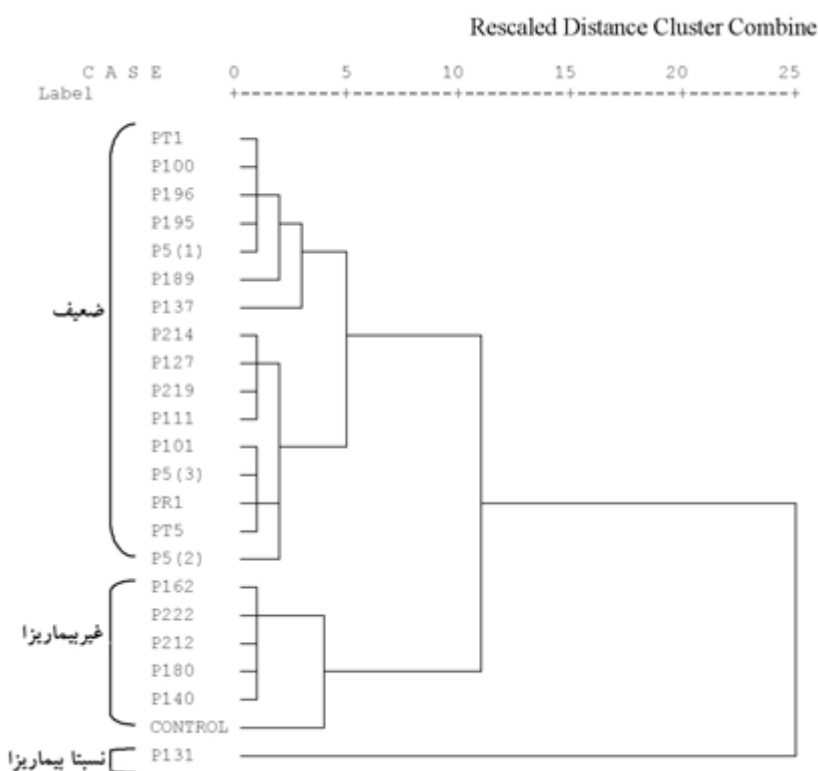
کد جدایه	میزان	گروه آناستوموزی	تاریخ‌های یادداشت‌برداری			سطح زیر منحنی
			I	II	III	
RH۲۰۶	چغندرقند	AG-۴	۳/۶a	۴a	۴a	۲۱a
RH۲۷۳	چغندرقند	AG-۴	۲/۳۸b	۴a	۴a	۱۷/۹۵b
RH۱۰۵	چغندرقند	AG-۴	۲/۱۴b	۴a	۴a	۱۷/۲۵b
RH۱۳۶	چغندرقند	AG-۴	۱/۲۲c	۴a	۴a	۱۵/۰۵c
RH۱۷۶	چغندرقند	AG-۴	۰/۱۸d	۰/۵b	۰/۹۶b	۲/۴۱d
RH۲۳۴	چغندرقند	AG-۳	۰/۰۴d	۰/۲c	۰/۳۲c	۰/۸۲e
RH۱۸۰	چغندرقند	AG-۵	۰/۱۲d	۰/۱۲d	۰/۱۶d	۰/۷e
RH۱۸۲	چغندرقند	AG-۳	·d	·d	·e	·e
شاهد	-----	-----	·d	·d	·e	·e



شکل ۴: تجزیه خوشه‌ای نتایج بیماری‌زایی جدایه‌های *Rhizoctonia solani* جدا شده از چغندرقند بر مبنای شدت بیماری ۳، ۵ و ۷ روز بعد از مایه‌زنی (مقیاس صفر-۵) روی چغندرقند در شرایط درون شیشه‌ای

جدول ۵: بررسی توان بیمایزایی نسبی جدایه‌های ریزوکتونیا به دست آمده از سیب‌زمینی در یادداشت برداری‌های مختلف در شرایط درون شیشه روی چغندر قند

کد جدایه	گروه آناستوموزی	تاریخ‌های یادداشت برداری		سطح زیر منحنی
		I	II	
P131	AG-۳	·/Δab	۲/۵۷Δa	۴/۸۲Δa
P189	AG-۳	·/۴Δab	۱/۸۷Δabc	۳/۹ab
P5(۲)	AG-۵	·/۶a	۱bcdefg	۳/۷abc
P5(۱)	AG-۵	·/۳۷Δab	۱/۴abcdef	۲/۱۳۷Δabcd
P195	AG-۳	·/۲۷Δab	۱/۷abcd	۲/۹۴abcde
P196	AG-۳	·/۲ab	۱/۸abcd	۲/۷abcde
P5(۳)	AG-۵	·/۳Δab	۱/۱bcdef	۲/۶۷Δabcde
P101	AG-۳	·/۲۷Δab	۱/۱abcdef	۲/۳۹abcdef
PT5	AG-۴	·/۳ab	·/۹cdefg	۲/۲۵abcdef
P100	AG-۳	·/۱Δab	۱/۵۷Δabcde	۲/۲۵abcdef
P127	AG-۳	·/۱۷Δab	۱/۳۵bcdef	۲/۱۳۸bcdef
PT1	AG-۴	·/۱۲Δab	۱/۵bcde	۲/۱۱۳bcdef
P214	AG-۳	·/۱Δab	۱/۳۷Δbcdef	۲/۰.۵bcd
P137	AG-۳	·b	۲/۰.۲Δab	۲/۰.۲Δbcdef
PR	AG-۴	·/۱۷Δab	۱/۰.۷Δbcdef	۱/۸۶۳bcdef
P111	AG-۳	·/۰.۷Δab	۱bcdefg	۱/۳۳۷bcdef
P219	AG-۳	·b	۱/۱۷Δbcdef	۱/۱۷Δcdef
P162	AG-۳	·/۰.۷Δab	·/۲۵defg	۱/۰.۶۲cdef
P222	AG-۳	·b	·/defg	·/def
P180	AG-۳	·b	·/۵defg	·/۵def
P212	AG-۳	·b	·/defg	·/def
P140	AG-۳	·b	·/fg	·/fg
شاهد	-----	·b	·g	·f



شکل ۵: تجزیه خوش‌های جدایه‌های *R. solani* بر مبنای شدت بیماری‌زایی ۷ و ۹ روز بعد از مایه‌زنی (مقیاس صفر-۴) در شرایط درون شیشه روی چغندر قند

## بررسی تنوع بیماری‌زایی جدایه‌های ریزوکتونیای سیبزمینی و چغnderقند

شده است. جدایه‌های کلاسترها ضعیف مربوط به هر چهار میزان تا حدود زیادی با یکدیگر مطابقت داشت. جدایه RH180 در همه کلاسترها ضعیف وجود داشت. همچنین جدایه‌های PR1، PT1 و P100 (در همه میزان‌ها به جز چغnderقند)، P212، P212 (همه میزان‌ها به جز سیبزمینی)، RH176 (همه میزان‌ها به جز تربچه) در کلاسترها ضعیف مشترک بودند. میزان مطابقت جدایه‌های مربوط به کلاسترها با شدت بیماری‌زایی بالا در بین میزان‌ها کمتر از جدایه‌های کلاسترها ضعیف بود. سه جدایه RH206، RH273 و P219 در همه کلاسترها با شدت بیماری‌زایی بالا، مشترک بودند. جدایه P189 بین جدایه‌های کلاسترها با شدت بیماری‌زایی قوی تربچه و گوجه‌فرنگی و جدایه T5 در بین جدایه‌های کلاستر با شدت بیماری‌زایی قوی سیبزمینی و گوجه‌فرنگی مشترک بود. بهنظر می‌رسد که جدایه RH206 با گروه آناستوموزی AG-4 از سایر جدایه‌ها بیماری‌زاتر بود. گوجه‌فرنگی تنوع بیماری‌زایی در جدایه‌ها را بهتر از سایر میزان‌ها نمایش داد. تربچه و سیبزمینی جدایه‌ها را به سه گروه دسته‌بندی کردند. با این وجود قدرت تفکیک تربچه بیشتر از سیبزمینی بود.

مقایسه قدرت بیماری‌زایی جدایه‌های AG-3 نشان داد که جدایه‌های بهدست آمده از سیبزمینی از نظر قدرت بیماری‌زایی نسبتاً قوی‌تر از جدایه‌های AG-3 حاصل از چغnderقند روی میزان سیبزمینی می‌باشند (شکل ۸).

مقایسه قدرت بیماری‌زایی جدایه‌های AG-4 نشان داد که جدایه‌های بهدست آمده از چغnderقند با گروه آناستوموزی AG-4 نسبت به جدایه‌های حاصل از سیبزمینی بیماری‌زاتر بودند (شکل ۹).

مقایسه قدرت بیماری‌زایی جدایه‌های AG-5 نشان داد جدایه‌های سیبزمینی و چغnderقند مشابه هم عمل می‌کنند و تفاوت زیادی میان جدایه‌های این دو میزان وجود ندارد (شکل ۱۰). لازم به ذکر است بهدلیل تعداد بسیار کم جدایه‌های مربوط به این گروه، نتیجه‌گیری دقیق امکان‌پذیر نمی‌باشد.

تنوع بیماری‌زایی جدایه‌های *R. solani* در شرایط درون شیشه روی گوجه‌فرنگی جدایه‌های بهدست آمده از سیبزمینی و چغnderقند هر دو علائم بیماری را هفت روز پس از مایه‌زنی روی گوجه‌فرنگی نشان دادند. در مورد این میزان یک مرحله یادداشت برداری صورت گرفت. بر اساس تجزیه آماری داده‌ها با آزمون دانکن، جدایه‌ها به چهار گروه بیماری‌زا، نسبتاً بیماری‌زا، نسبتاً ضعیف و ضعیف طبقه‌بندی شدند. جدایه‌های P5(3)، P5(2) و P140 به عنوان بیماری‌زاترین جدایه‌ها شناخته شدند. AG-5 ضعیفترین جدایه RH180 با گروه آناستوموزی ۵ بود که از چغnderقند جداسازی شده بود (جدول ۶). کلیه جدایه‌های بررسی شده در این آزمون بر اساس تجزیه خوش‌های به دو گروه بیماری‌زا و ضعیف طبقه‌بندی شدند (شکل ۶).

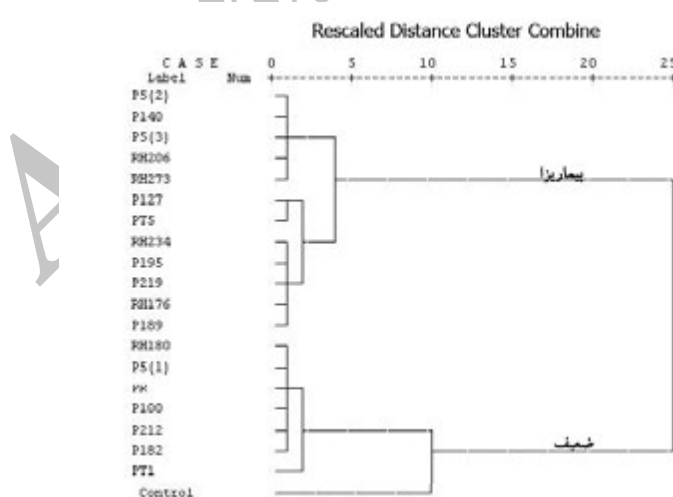
ارتباط بین قدرت بیماری‌زایی جدایه‌های منتخب و میزان‌های مختلف مورد بررسی بهمنظور بررسی ارتباط بین قدرت بیماری‌زایی جدایه‌های ریزوکتونیا و میزان‌های مختلف مورد بررسی، با توجه به گروه آناستوموزی جدایه‌ها از یادداشت برداری‌های روز هفتم پس از مایه‌زنی مربوط به کلیه میزان‌ها استفاده شد. تجزیه خوش‌های (بر مبنای میزان شدت بیماری در روز هفتم بعد از مایه‌زنی) با استفاده از متوسط پیوستگی بین گروه‌ها (Average linkage between groups) در فاصله اقلیدسی (Squared Euclidean distance) تقسیم کرد (شکل ۷).

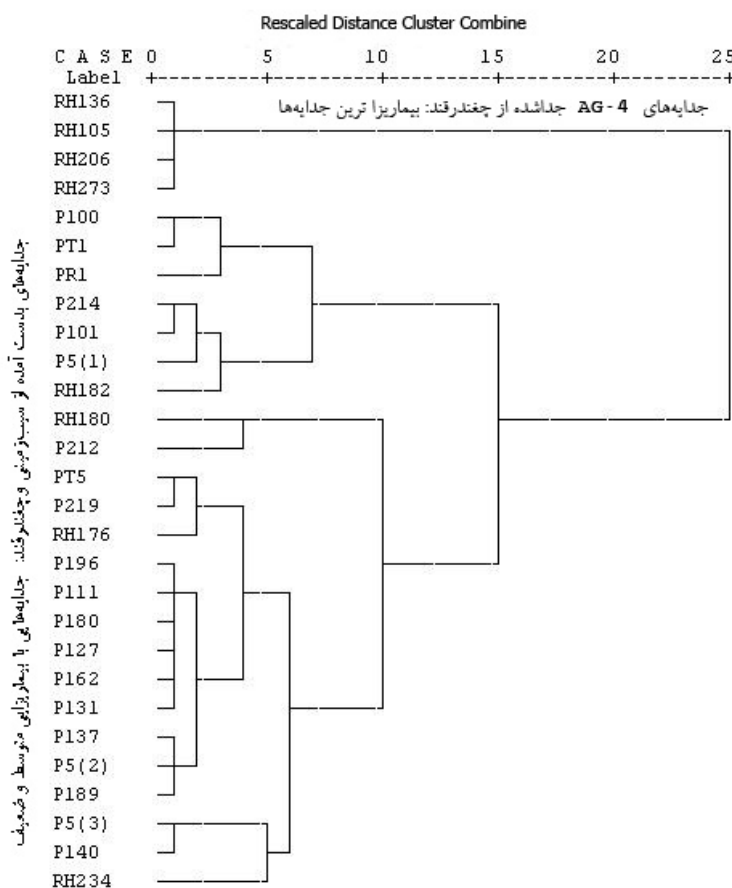
از بین پنج جدایه بهدست آمده از چغnderقند با گروه آناستوموزی AG-4 چهار جدایه، در خوش‌هه اول قرار گرفت و در خوش‌هه دوم تمام جدایه‌های AG-3، AG-4 و AG-5 بهدست آمده از سیبزمینی و یک جدایه با گروه آناستوموزی چهار و تمام جدایه‌های با گروه آناستوموزی سه و پنج بهدست آمده از چغnderقند در یک خوش‌هه قرار گرفتند. در جدول ۷ بیماری‌زاترین و ضعیفترین جدایه‌ها و همچنین کلاسترها جدایه‌های با شدت بیماری‌زایی ضعیف و قوی مربوط به هر میزان مشخص

جدول ۶: مشخصات جدایه‌های *R. solani* و بررسی قدرت بیمایزایی نسبی آن‌ها در شرایط درون شیشه روی

## گوجه‌فرنگی

کد جدایه	میزبان	گروه آناستوموزی	تاریخ یادداشت برداری (روز هفتم)
P5(۲)	سیب‌زمینی	AG-۵	۵a
P1۴۰	سیب‌زمینی	AG-۳	۵a
P5(۳)	سیب‌زمینی	AG-۵	۵a
RH۲۰۶	چغندر قند	AG-۴	۴/۸۳a
RH۲۷۳	چغندر قند	AG-۴	۴/۷۷a
P1۸۹	سیب‌زمینی	AG-۳	۴/۴a
RH۱۷۶	چغندر قند	AG-۴	۴/۲ab
P2۱۹	سیب‌زمینی	AG-۳	۴/۰۳ab
P1۹۵	سیب‌زمینی	AG-۳	۳/۹۳ab
RH۲۳۴	چغندر قند	AG-۳	۳/۹ab
PT۵	سیب‌زمینی	AG-۴	۳/۴۷abc
P1۲۷	سیب‌زمینی	AG-۳	۳/۳abcd
PT۱	سیب‌زمینی	AG-۴	۲/۴۳bcd
RH۱۸۲	سیب‌زمینی	AG-۳	۲/۰۳cd
P1۰۰	سیب‌زمینی	AG-۳	۱/۸۳cde
P2۱۲	سیب‌زمینی	AG-۳	۱/۷۷cde
PR	سیب‌زمینی	AG-۴	۱/۵۷cde
P5(۱)	سیب‌زمینی	AG-۵	۱/۴۷de
RH۱۸۰	چغندر قند	AG-۵	۱/۴de
شاهد			.e

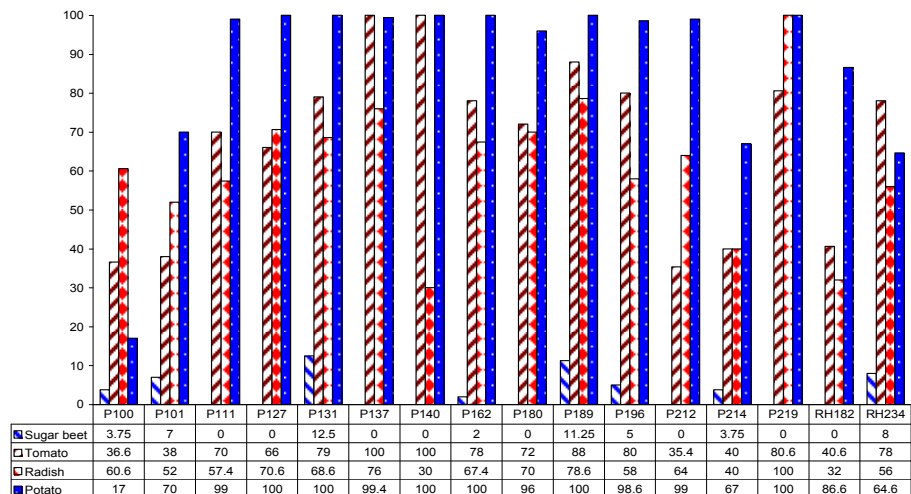
شکل ۶: تجزیه خوشه‌ای جدایه‌های *R. solani* بر مبنای شدت بیماری‌زایی ۷ روز بعد از مایه‌زنی (مقیاس صفر-۵) در شرایط درون شیشه روی گوجه‌فرنگی



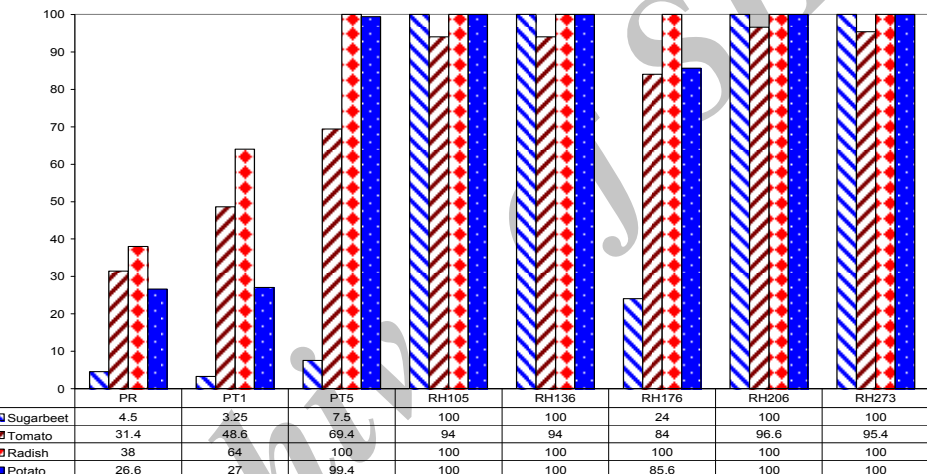
شکل ۷: تجزیه خوشای جدایه‌های ریزوکتونیا بر مبنای شدت بیماری ۷ روز بعد از مایه‌زنی در شرایط درون شیشه روی چهار میزان (سیبزمینی، گوجه فرنگی، تربچه و چغندرقند)

جدول ۷: مقایسه جدایه‌های ضعیف و قوی میزان‌های مختلف

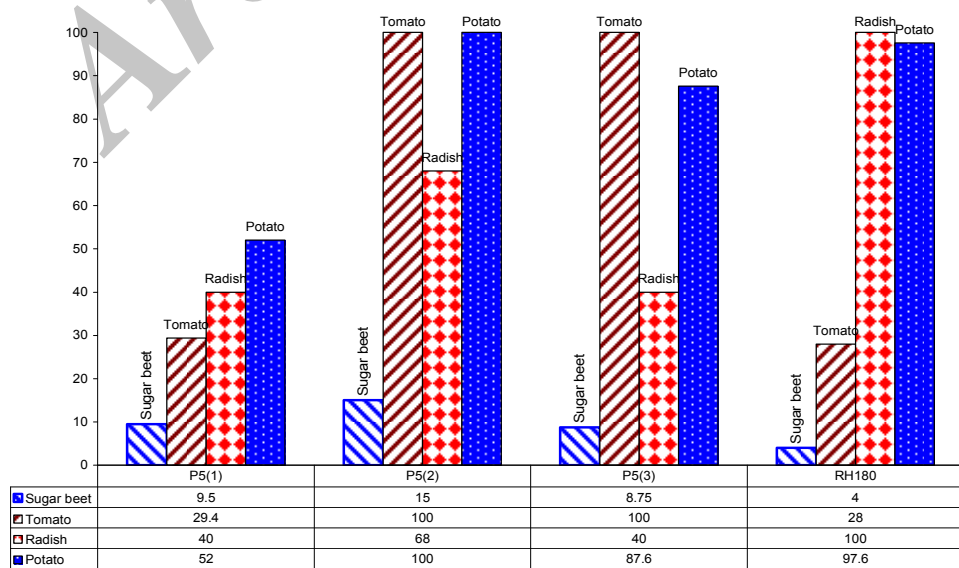
گیاه میزان	کم	جادایه‌های با شدت بیماری‌زا	جادایه‌های با شدت بیماری‌زا
تربچه	P۱۴(AG-۳) RH۱۸۴(AG-۳) RH۲۳۴(AG-۴) PR(AG-۴) PT1(AG-۴)	P۲۹(AG-۳) P۱۹۵(AG-۳) RH۲۶(AG-۴) RH۲۷۳(AG-۴)	P۲۹(AG-۳) RH۲۰۶(AG-۴)
سیبزمینی	P۱۰۰(AG-۳) PR(AG-۴) PT1(AG-۴)	P۲۱۹(AG-۳) RH۲۰۶(AG-۴)	P۲۱۹(AG-۳) RH۲۰۶(AG-۴)
چغندرقند	P۲۲۲(AG-۳) P۱۶(AG-۳) P۱۸۰(AG-۴) RH۱۸۲(AG-۳) RH۱۸۰(AG-۴) RH۲۲۴(AG-۴) P۲۱۲(AG-۳)	P۱۲(AG-۳) RH۲۰۶(AG-۴)	P۱۲(AG-۳) RH۲۰۶(AG-۴)
گوجه فرنگی	RH۱۸۰(AG-۴) P۱۸۰(AG-۴) P۱۴(AG-۳) RH۲۰۶(AG-۴) RH۲۷۳(AG-۴) P۱۸۹(AG-۳)	P۱۸۰(AG-۴) P۱۶۲(AG-۴) P۱۳۱(AG-۴) P۱۳۷(AG-۴) P۵(2)(AG-۴) P۱۸۹(AG-۴) P۱۴۰(AG-۴) RH۲۳۴(AG-۴)	P۱۸۰(AG-۴) P۱۶۲(AG-۴) P۱۳۱(AG-۴) P۱۳۷(AG-۴) P۵(2)(AG-۴) P۱۸۹(AG-۴) P۱۴۰(AG-۴) RH۲۳۴(AG-۴)



شکل ۸: مقایسه قدرت بیماری‌زایی جدایه‌های AG-3 حاصل از سیب زمینی و چغندرقند (نمره ۵ در گوجه‌فرنگی، سیب‌زمینی و تربچه و نمره ۴ در چغندرقند معادل ۱۰۰ می‌باشد)



شکل ۹: مقایسه قدرت بیماری‌زایی جدایه‌های AG-4 حاصل از سیب‌زمینی و چغندرقند



شکل ۱۰: مقایسه قدرت بیماری‌زایی جدایه‌های AG-5 حاصل از سیب‌زمینی و چغندرقند

ویژگی‌های مهم در گروه‌بندی *R. solani* نام برد، خصوصاً زمانی که جدایه‌ها یا جمعیت‌های مختلف با هم مقایسه می‌شوند. برای مثال جدایه‌های AG2t که یکی از زیر گروه‌های AG2-1 می‌باشد را نمی‌توان براساس واکنش آناستوموزی و یا خصوصیات دیگر از جدایه‌های AG2-1 جدا نمود اما می‌توان این جدایه‌ها را براساس قدرت بیماری‌زایی آن‌ها روی لاله از جدایه‌های AG2-1 جدا نمود. به طور کلی مطالعه قدرت بیماری‌زایی گروه‌های مختلف آناستوموزی روی گیاهان مختلف منجر به درک تخصص میزانی برخی از گروه‌های آناستوموزی می‌گردد. با این وجود دیده شده که برخی از جدایه‌های ریزوکتونیا توانایی بیمار کردن خانواده‌های گیاهی دیگر را نیز دارا می‌باشند (کیجر و همکاران، ۱۹۹۷). کیجر و همکاران (۱۹۹۷) با مطالعه قدرت بیماری‌زایی جدایه‌های ریزوکتونیا روی سیب‌زمینی، بدمجان، گوجه‌فرنگی، *Arabidopsis*، گل کلم، میان گروه‌بندی آناستوموزی و گروه‌بندی بیماری‌زایی ارتباط نسبی پیدا کردند.

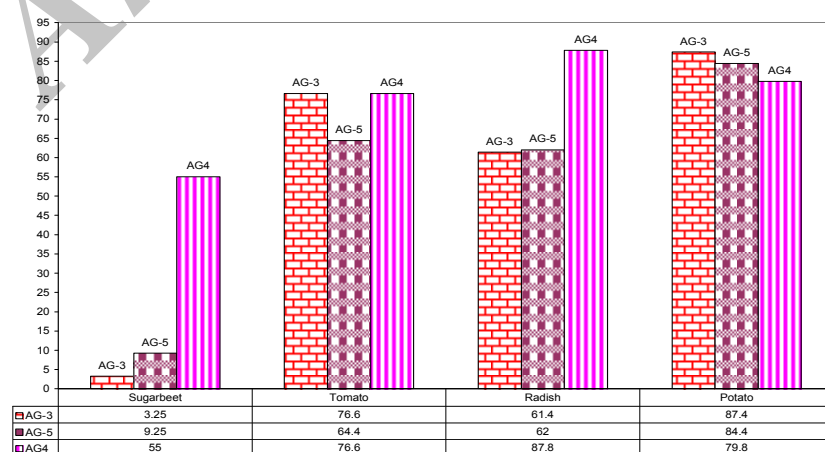
در این آزمایش وجود تخصص میزانی یا عدم آن در سه گروه آناستوموزی AG3، AG4 و AG5 در شرایط آزمایشگاهی بررسی گردید. جهت افزایش میزان دقت در ارائه نتایج، عوامل جانبی چون شدت نور، دما و رطوبت مورد کنترل قرار گرفت. همچنین برای ایجاد هماهنگی در میزان رشد جدایه‌های *R. solani* از میسلیوم‌های جوان در حاشیه فعال هر پرگنه استفاده گردید.

## بررسی شدت بیماری‌زایی گروه‌های مختلف آناستوموزی

میانگین قدرت بیماری‌زایی جدایه‌های AG-3، AG-4 و AG-5 به دست آمده از چندرقند و سیب‌زمینی، جهت ارزیابی نسبی قدرت بیماری‌زایی گروه‌های مختلف استفاده شد. بر اساس شکل ۱۱، روی چندرقند از میان این سه گروه آناستوموزی، گروه آناستوموزی چهار بیشترین توان بیماری‌زایی را داشت و گروه آناستوموزی AG-3 کمترین توان را در بیمار کردن چندرقند نشان داد. از میان این سه گروه آناستوموزی گوجه‌فرنگی و تربچه، به طور مجزا، نسبت به گروه آناستوموزی چهار بیشتر حساس بودند. اما سیب‌زمینی نسبت به AG-3 بسیار حساس و ضعیف بود. از میان این چهار میزانی چندرقند کمترین حساسیت را در برابر ریزوکتونیا داشته در حالی که سیب‌زمینی به عنوان حساس‌ترین میزانی ریزوکتونیا شناخته شد. به طور کلی گروه آناستوموزی AG-4 نسبت به دو گروه دیگر دارای توان بیماری‌زایی بیشتری می‌باشد.

## بحث

نتایج این پژوهش بیانگر وجود تنوع بالایی در بیماری‌زایی جدایه‌های *R. solani* متعلق به گروه‌های مختلف می‌باشد. سطوح بیماری‌زایی و دامنه میزانی از جمله خصوصیات مهم و مفید در مطالعه *R. solani* می‌باشد. از دامنه میزانی می‌توان به عنوان یکی از



شکل ۱: بررسی میانگین قدرت بیماری‌زایی گروه‌های مختلف آناستوموزی روی چهار میزانی چندرقند، گوجه‌فرنگی، تربچه

و سیب‌زمینی

سیب‌زمینی کاشته شود می‌تواند برای کشت سیب‌زمینی سال بعد مهم و بیماری‌زا باشد.

نتایج این مطالعه نشان می‌دهد که در بین میزبان‌های مختلف، گوجه‌فرنگی جدایه‌های ریزوکتونیا را، از نظر توان بیماری‌زا، بهتر از سایر میزبان‌ها تفکیک نموده است و به نظر می‌رسد در مطالعات مربوط به تعیین تنوع بر اساس قدرت بیماری‌زا یی گوجه‌فرنگی جای‌گزین بهتر و مناسب‌تری برای چغندرقند می‌باشد. سیب‌زمینی و تربچه مشابه هم جدایه‌ها را به سه دسته تقسیم کردند، اما تنوع درون گروهی تربچه بهتر و بیشتر از سیب‌زمینی بود. بنابراین به نظر می‌رسد می‌توان از تربچه و گوجه‌فرنگی به عنوان گیاهان محک مناسبی برای شناسایی جدایه‌های با قدرت بیماری‌زا بالا در برنامه‌های ارزیابی مقاومت بهویژه در ارتباط با گروه آناستوموزی ۴ AG-4 استفاده کرد.

به استناد نتایج این پژوهش و هم‌خوانی آن با مطالعات دیگران (محمودی و همکاران، ۱۳۸۳؛ کیحر و همکاران، ۱۹۹۷) می‌توان چنین استنتاج نمود که روش آزمون درون شیشه‌ای به عنوان تکنیک ساده قادر به بررسی تنوع بیماری‌زا یی جدایه‌های ریزوکتونیا بوده و می‌توان از آن در مطالعات مختلف بهره برد. هم‌چنین در بین سه گروه آناستوموزی ۵، ۴، ۳ AG-3، کروه آناستوموزی ۴ AG-4 که در ایران از فراوانی بالایی برخوردار است و دارای تنوع ژنتیکی و بیماری‌زا یی زیادی نیز می‌باشد (محمودی و همکاران، ۱۳۸۳) و از دو گروه آناستوموزی دیگر مهم‌تر بوده و برای شناسایی جدایه‌های AG-4 با قدرت بیماری‌زا بالا و استفاده از آن‌ها در شناسایی ارقام یا ژنتیک‌های مختلف مقاوم گیاهی می‌توان از روش‌های ارائه شده در این پژوهش بهره گرفت.

میانگین قدرت بیماری‌زا یی جدایه‌های AG-3، AG-4 و AG-5 به دست آمده از چغندرقند و سیب‌زمینی، جهت ارزیابی نسبی قدرت بیماری‌زا یی گروه‌های مختلف استفاده شد. جدایه‌های گروه آناستوموزی ۳ AG-3 که از چغندرقند و سیب‌زمینی جداشده بودند گیاهان خانواده سولاناسه بویژه سیب‌زمینی را بر گیاهان دیگر ترجیح دادند و این نتیجه نمایانگر وجود تخصص میزبانی در این گروه آناستوموزی می‌باشد. مقایسه قدرت بیماری‌زا یی جدایه‌های AG-3 حاصل از سیب‌زمینی و چغندرقند نشان داد که جدایه‌های به دست آمده از سیب‌زمینی از نظر قدرت بیماری‌زا یی نسبتاً قوی‌تر از جدایه‌های AG-3 حاصل از چغندرقند می‌باشند.

به نظر می‌رسد گروه آناستوموزی ۴ AG-4 کلاً روی گیاهان جوان بیماری‌زا باشد و این گروه از تخصص میزبانی کمتری برخوردار است. به طوری که جدایه RH206 با گروه آناستوموزی ۴ AG-4 از سایر جدایه‌ها بیماری‌زا یی و از تخصص میزبانی کمتری برخوردار بود. این جدایه در مطالعات محمودی و همکاران (۱۳۸۳) نیز جزء جدایه‌های با قدرت بیماری‌زا بالا روی چغندرقند تشخیص داده شده بود.

بر اساس نتایج این پژوهش، گروه آناستوموزی چهار بیشترین توانایی را در بیمار کردن چغندرقند داشته و گروه آناستوموزی ۳ AG-3 کمترین میزان توانایی را در بیمار کردن چغندرقند نشان داد که این نتیجه مشابه نتایجی است که دیگر پژوهشگران گزارش نموده‌اند (ویندلر و نابن، ۱۹۸۹؛ اشنایدر، ۲۰۰۰). با توجه به این که گروه آناستوموزی ۴ AG-3 از چغندرقند جدا شده و گروه آناستوموزی چهار نیز توان بیمار کردن بذور و گیاهچه چغندرقند را دارا می‌باشد بنابراین می‌توان نتیجه گرفت که اگر چغندرقند در تناب و با

## منابع

محمودی، س. ب. ۱۳۸۳. مقایسه روش‌های مختلف ارزیابی مقاومت ژنتیکی‌های منتخب چغندر قند نسبت به پوسیدگی ریزوکتونیایی ریشه و طوفه. پایان‌نامه دکتری رشته بیماری شناسی. دانشکده کشاورزی، دانشگاه تربیت مدرس، تهران، ایران، ۱۴۲ ص.

- Balali, G. R., Neate, S. M., Scott, E. S., Whisson, D. L. and Wicks, T. J. 1995. Anastomosis group and pathogenicity of isolates of *Rhizoctonia solani* from crops in South Australia. *Plant Pathology* 44: 1050-1057.
- Bandy, B. P., Leach, S. S. and Tavantzis, S. M. 1988. Anastomosis group 3 is the major cause of *Rhizoctonia* disease of potato in Maine. *Plant Disease* 72: 596-598.
- Banville, G. J. 1989. Yield losses and damage to potato plants caused by *Rhizoctonia solani* Kuhn. *American Potato Journal* 66:821-834.
- Carling, D. E. and Leiner, R. H. 1986. Isolation and characterization of *Rhizoctonia solani* and binucleate *R. solani*-like fungi from aerial stems and subterranean organs of potato plants. *Phytopathology* 76: 725-729.
- Carling, D. E., Kuninaga, S. and Brainard, A. 2002a. Hyphal anastomosis reactions, rDNA- internal transcribed spacer sequences, and virulence levels among subsets of *Rhizoctonia solani* anastomosis group- 2 (AG- 2) and AG-BI. *Phytopathology* 92: 43-50.
- Carling, D. E., Baird, R. E., Gitaitis, R. D., Brainard, K. A. and Kuninaga, S. 2002b. Characterization of AG-13, a newly reported anastomosis group of *Rhizoctonia solani*. *Phytopathology* 92:893-899.
- Exner, B. 1953. Comparative studies of four *Rhizoctonia* occurring in Louisiana. *Mycologia* 45:698-719.
- Jobson, J. D. 1992. Applied multivariate data analysis. Vol.II: Categorical and multivariate methods. Springer Press.
- Keijer, J., Korsman, M. G., Dullemans, A. M., Houterman, P. M., De Bree, J. and Van Silfhout, C. H. 1997. In vitro analysis of host plant specificity in *Rhizoctonia solani*. *Plant Pathology* 46: 659-669.
- Mordue, J. E., Curran, R. S. and Bridge, P. D. 1989. An integrated approach to *Rhizoctonia* taxonomy: cultural, biochemical and numerical techniques. *Mycological Research*. 92: 78-910.
- Ogoshi, A. 1975. Grouping of *Rhizoctonia solani* Kuhn and their perfect stages. *Review of Plant Protection Research of Japan* 8:98-103.
- Parmeter, J. R., Sherwood, R. T. and Platt, W. D. 1969. Anastomosis grouping among isolates of *Thanatephorus cucumeris*. *Phytopathology* 59:1270-1278.
- Robinson, H. and Deacon, J. W. 2002. Double-stranded RNA elements in *Rhizoctonia solani* AG-3. *Mycological Research* 106:12-22.
- Schneider, J. H. M., Salazar, O., Rubio, V. and Keijer, J. 1997. Identification of *Rhizoctonia solani* associated with field grown tulips using ITS rDNA polymorphism and pectic zymograms. *European Journal of Plant Pathology* 103: 607-622.
- Schneider, J. H. 2000. Characterization of *Rhizoctonia solani* occurring in sugar beet in the Netherlands. Abtracts of Third International Symposium on *Rhizoctonia*. Taiwan, p: 13.
- Sneh, B., Burpee, L. L. and Ogoshi, A. 1991. Identification of *Rhizoctonia* Species. St. Paul MN: APS Press.133p.
- Truter, M. C. 2005. Anastomosis grouping of *Rhizoctonia solani* associated with black scurf and stem canker of potato in South Africa. MSc (Agric) dissertation, University of Pretoria.
- Vilgalys, R. and Cubeta, M. A. 1994. Molecular systematics and population biology of *Rhizoctonia*. *Annual Review of Phytopathology* 32: 135-155.
- Watanabe, B. and Matsuda, A. 1966. Studies on grouping of *Rhizoctonia solani* pathogenic to upland crops. APSnet feature. Available at: [www.apsnet.org](http://www.apsnet.org).

- Windels, C. E. and Nabben, D. J. 1989. Characterization and pathogenicity of anastomosis groups of *Rhizoctonia solani* isolated from *Beta vulgaris*. *Phytopathology* 79: 83-88.
- Windels, C. E., Kuznia, R. A. and Call, J. 1997. Characterization and pathogenicity of *Thanatephorus cucumeris* from sugar beet in Minnesota. *Plant Disease* 81:245-249.

Archive of SID

## Pathogenic Diversity Among the Isolates of *Rhizoctonia solani* Recovered from Potato Tubers and Sugar Beet

Saffarian Abbas Zadeh<sup>1</sup>, M., Farokhi Nejad, R<sup>2</sup>., and Mahmoudi, B<sup>3</sup>

### Abstract

In this study, pathogenic variability of the *Rhizoctonia* isolates recovered from potato and sugar beet was examined on radish, tomato, potato and sugar beet. Results revealed a high degree of diversity in virulence of the isolates. Among plants tested, sugar beet and potato were the least and the most susceptible hosts for *R. solani*, respectively. Isolates of AG-4 and AG-3 caused the highest and lowest amount of disease on sugar beet respectively. Among the four hosts, tomato and radish were the most susceptible plants used in this study against the isolates of AG-4. These results indicated clearly that AG-3 isolates have a preference for potato, whereas no host preference was observed among isolates of AG-4. In other words, AG-4 isolates have the highest pathogenicity on the all plants tested. Results of this study indicated that it would be possible to separate the isolates based on their virulence on radish and tomato better than potato and sugar beet respectively. These results suggest that it is preferable to replace sugar beet and the potato seeds with radish and tomato seeds when these types of experiments need to be done.

**Keywords:** *Rhizoctonia solani*, Pathogenic variability, Potato, Sugar beet, Cluster analysis

1 And 2. Former postgraduate student and Professor respectively, Department of plant protection, Faculty of Agriculture, Shahid Chamran University, Ahvaz

3. Assistant Professor, Sugar beet seed Institute, Karaj